

变形较小,基本随心墙土向下作平行移动,这充分说明上游坝壳土体是随着心墙土体的变形而变形,对心墙有压缩作用.这种向下的压缩作用在坝顶以下、4/5坝高以上的土体中表现得较为明显,上游坝壳对心墙的压缩作用表现显著.斜心墙在竣工期的有效主应力 σ_1 、 σ_3 的分布在坝体两侧较大,而心墙内部较小,最大垂直应力发生在坝体底部,为1.6 MPa;心墙内部的应力分布极不均匀,其值远远小于两侧的应力,其中以坝顶以下2/3坝高处应力与坝壳应力的差值最大.计算竣工期坝体的变形实际上是坝体整个填筑期的总的变形量,由于坝体材料较软,计算得到的总的沉降变形量较大.另外,由于堆石料中含有大量的风化泥岩,使得过渡料和反滤料的变形模量较堆石料的变形模量大,所以在过渡区与反滤层处坝体的变形明显小于堆石区.

4 计算范围与单元的划分

动力计算均从基岩开始进行,认为地震波从基岩向上传递,本工程坝体坐落在基岩之上,因此计算中坝基部分从基岩算起,包括坝基卵石土.坝基软弱夹层分布于整个坝基,剪切模量较低,并且呈较强的各向异性,水平向模量和强度较垂直向的大得多,它的存在对基岩地震波有削减作用,作为安全考虑计算中不计该层对动力的影响.

用4节点等参有限元对坝体进行离散.单元划分时,对于应力较为集中的心墙、过渡料区和廊道等附近进行了局部的加密,对于浸润面上下按照不同的材料考虑,剖面单元划分见图1.计算工况为正常蓄水位加7度地震.

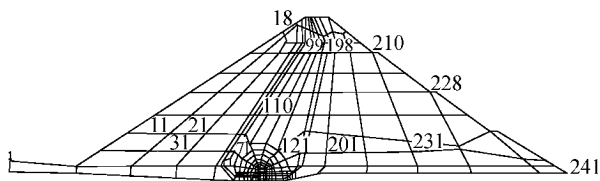


图1 斜心墙断面网格

计算中先分8级进行坝体自重应力作用下的坝体应力,然后再分8级计算在上游蓄水情况下(正常蓄水位)的坝体静应力,以上计算得到的值就是动力计算的初始应力场.在此初始应力场下进行地震动力反应计算,得到坝体的动力反应值.

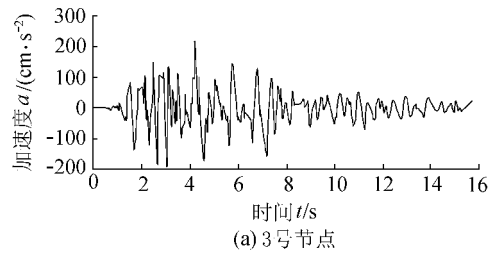
5 计算成果分析

通过动力计算可以得到坝体各节点的水平加速度反应值和水平方向的动位移值,得到各单元的动剪应力和动剪应变反应值,以及坝体整体的自由振动频率,从而全面反映坝体在地震动力作用下的变

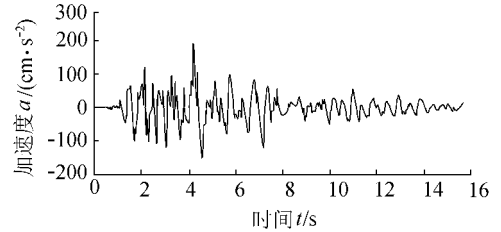
形和应力情况,进而分析坝体在动力情况下的稳定性,了解坝底灌浆廊道在动力情况下的各种反应情况.下面分断面对其动力反应的计算结果进行分析.

5.1 坝体加速度反应

坝顶节点3与心墙中部节点112的地震加速度反应曲线见图2,其中112节点位于心墙的中心线上,各节点的加速度放大系数见表2.计算表明坝体计算最大加速度放大系数为2.18,发生在坝顶位置,从坝基到坝顶加速度放大系数由小到大分布,加速度最大值均发生在振动时间为2.0~4.2s之间,这与输入地震曲线加速度变化规律一致,各节点加速度反应最大幅值较地震反应波最大幅值有滞后现象,并且这种滞后现象在坝顶处较坝底要明显.在坝底部加速度反应曲线振动频率较高,与地震波底频率基本一致,但是随着坝高的增加振动频率就逐渐降低,振动频率降低的幅度较大.



(a) 3号节点



(b) 112号节点

图2 3号和112号节点地震加速度反应曲线

表2 节点加速度最大反应值

节点号	最大加速度/ ($\text{cm} \cdot \text{s}^{-2}$)	对应的振动 时间/s	加速度 放大系数	位置
3	214.32	4.211	2.18	坝顶
193	211.07	4.211	2.15	坝顶
112	191.04	4.211	1.95	心墙中部
117	127.33	2.690	1.30	心墙下部

5.2 水平振动位移反应

坝顶节点3和心墙中部节点112的水平向振动位移反应曲线见图3,各节点最大水平动位移见表3.由表3可知,动水平位移以坝顶处最大,最大水平位移为-2.939 cm.坝坡表面的动水平位移较坝体内部的位移值要大,从坝基到坝顶水平位移值由小到大变化,在坝基处水平位移值几乎为零.水平位移的变化频率较低,是输入地震加速度频率的10倍左右,动振动位移最大振动幅值随振动时间的持续开始逐渐增加,达到最大后又逐渐减少,最大位移

发生在 4~5 s 之间,水平向振动位移在地震结束后迅速趋于零,说明坝体振动基本处于弹性振动状态。

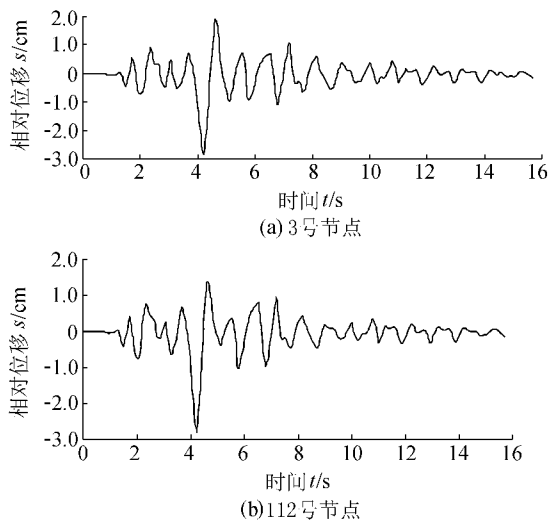


图3 3号和112号节点水平向振动位移反应曲线

表3 节点最大水平位移

节点号	最大加速度/cm		对应的振动时间/s		位置
	正值	负值	正值	负值	
3	1.786	-2.939	4.656	4.206	坝顶
193	1.883	-2.588	4.586	4.211	坝顶
112	1.369	-2.781	4.656	4.206	心墙中部
117	0.245	-0.548	2.886	4.206	心墙下部

5.3 动剪应力与剪应变时程曲线分析

坝顶和坝体中部位置典型单元计算得到的动剪应力及对应的振动时间见表4。从计算得到的剪应力过程线中可以看到,剪应力值从坝顶到坝基逐渐

增加,从坝体内部到坝体外部逐渐降低,最大值发生在坝基,最大值为114.5 kPa,振动持续时间达4.211 s,动剪应力的大小取决于地震加速度的大小,随地震加速度的增加而增加,随地震加速度的降低而降低,坝体剪应变的最大值发生在坝体顶部,其量值较小。

表4 单元最大动剪应力

单元号	最大动剪应力/kPa	对应的振动时间/s	位置
38	-24.8	4.407	坝顶
102	9.8	6.779	坝顶
107	10.0	4.211	坝中
110	-0.6	4.784	坝中
175	114.5	4.211	坝顶

5.4 坝体动剪应力与剪应变分布规律分析

斜心墙堆石坝在地震持续时间分别为2.185 s, 4.044 s时坝体剪应力和剪应变等值线见图4和图5。从剪应力等值线可以看出,动剪应力最大值发生在坝基,其中,以下游坝脚、下游过渡区下部和上游过渡区下部为最大,其他地方的应力值较小,同时可以看到,在地震工况下,坝体下游水平向的剪应力较上游大,说明在地震时下游的危险性较上游大。总的看来坝体各处动剪应力不是太大,坝体是安全的。从坝体剪应变等值线可以看出,坝体动剪应变发生在坝顶,但剪应变较小,说明坝体稳定。

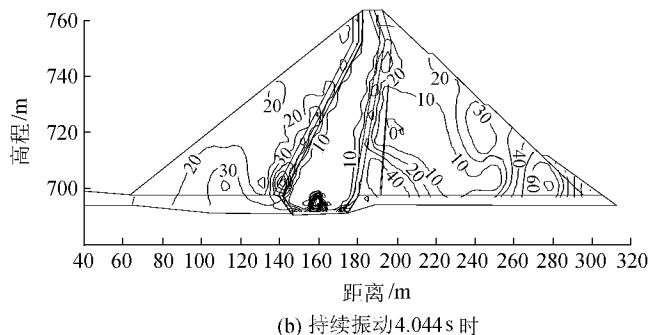
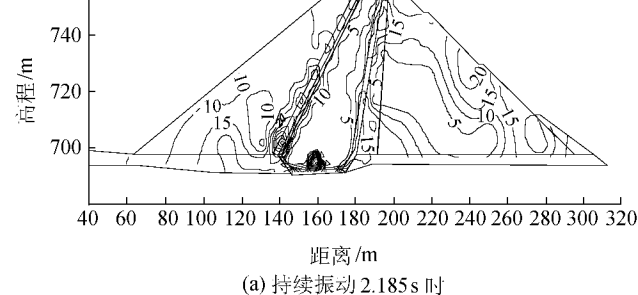


图4 坝体动剪应力等值线(单位 kPa)

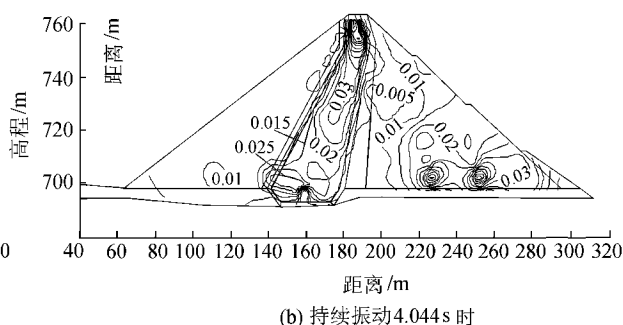
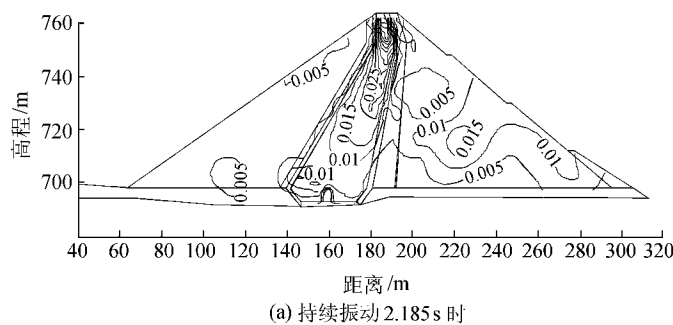


图5 坝体动剪应变等值线(单位 kPa)

6 结论

a. 斜心墙最大坝高断面加速度放大系数从坝基到坝顶由小到大变化,最大值出现在坝顶。

(下转第89页)

经计算,底板内力在基本组合时 $M_{\max} = 186 \text{ kN}\cdot\text{m}$,特殊组合时 $M_{\max} = 272 \text{ kN}\cdot\text{m}$ 。

根据 SDJ20—78《水工钢筋混凝土结构设计规范》,素混凝土受弯构件的计算公式为

$$KM \leq \gamma R_1 bh^2/6 \quad (1)$$

式中: K 为混凝土抗拉强度安全系数,对于一级建筑物,基本组合 $K = 2.8$,特殊组合 $K = 2.3$; M 为弯矩; γ 为受弯混凝土构件受拉区塑性影响系数,对于矩形截面, $\gamma = 1.55$; R_1 为混凝土抗拉设计强度,对于除险加固后的新老混凝土取均值 $R_1 = 1.05 \times 10^6 \text{ Pa}$ (C10混凝土抗拉强度 $R_1 = 0.82 \times 10^6 \text{ Pa}$, C25混凝土抗拉强度 $R_1 = 1.27 \times 10^6 \text{ Pa}$); b 为截面宽度, $b = 100 \text{ cm}$; h 为截面高度, $h = 200 \text{ cm}$ 。

经计算, $KM_{\max} = 625.6 \text{ kN}\cdot\text{m}$, 小于 $\gamma R_1 bh^2/6 = 1085 \text{ kN}\cdot\text{m}$, 所以闸底板强度满足要求。相对于除险加固之前的底板(埋石率 20% 的 C10 混凝土结构), 其强度有了明显提高。

3.2 渗透稳定复核

对太浦闸除险加固后闸底板进行渗透稳定复核时,分为两种工况,见表 1。

表 1 渗透稳定复核计算

工况	闸上水位/m	闸下水位/m	上下游水头差/m
1	14.80	3.30	1.50
2	5.50	3.54	1.96

闸基土为粉质黏土,其允许渗径系数 C 取 5。根据闸基防渗长度的基本公式 $L \geq C\Delta H$, 经计算,工况 1 的 $C\Delta H$ 值为 7.50 m, 工况 2 的 $C\Delta H$ 值为 9.80 m, 均小于实际闸基渗透长度 16 m。

采用改进阻力系数法^[6]进行的闸基出口段渗透稳定复核计算表明,工况 1 和工况 2 出口段渗流坡降值分别为 0.312 和 0.407, 均小于允许渗流坡降值 (0.5~0.6)。

上述底板的强度与渗透稳定的复核结果表明,按照方案 b 加固后的闸底板的强度和渗透稳定性完全满足规范要求。

4 结 语

根据太浦闸目前的结构性态表现,初定两种加固方案,即底板灌浆附加喷浆修补方案(方案 a)和底板灌浆附加增设上游铺盖和底板表面混凝土方案(方案 b)。两种方案的比选结果表明,方案 b 优于方案 a。底板的强度与渗透稳定复核结果表明,按照方案 b 加固后的闸底板完全满足规范要求。但根据新一轮的防洪规划对太浦闸的要求,对太浦闸实施加

固还是改建尚需从工程功能、技术、经济、安全性、运行管理和水利现代化及环境协调性等各方面作进一步比较。

参考文献:

- [1] 张丽明. 水闸破坏症状与除险加固措施简述[J]. 大坝观测与土工测试, 2001(4): 40.
- [2] 李长城. 水闸的破坏与修复及法泗闸的整险加固[J]. 中国农村水利水电, 2000(6): 35-38.
- [3] 张艳茹, 刘兵正. 三盛公水利枢纽拦河闸进水闸闸底板补强灌浆方法的探讨[J]. 内蒙古水利, 2005(2): 84-85.
- [4] 陈伟业. 改性灌溉水泥的性能与应用[J]. 水利水电科技进展, 1999, 19(3): 19.
- [5] 余解民, 蔡洪卿. 黄沙港闸反拱底板水下修补加固技术[J]. 水利水电科技进展, 2002, 22(6): 41-43.
- [6] 左东启. 水工建筑物[M]. 南京: 河海大学出版社, 1995: 429-491.

(收稿日期 2005-09-29 编辑: 马敏峰)

(上接第 49 页)

b. 动剪应力最大值出现在坝基, 最大为 114.5 kPa。动剪应变最大值出现在坝体顶部, 量值不大, 对坝体安全不构成威胁。

c. 坝体断面在动力情况下是稳定的。

参考文献:

- [1] 华东水利学院. 弹性力学问题的有限单元法[M]. 北京: 水利电力出版社, 1978.
- [2] 顾淦臣. 土石坝地震工程[M]. 南京: 河海大学出版社, 1989.
- [3] 谢定义. 土动力学[M]. 西安: 西安交大出版社, 1988.
- [4] 刘祖德. 土石坝变形计算的若干问题[J]. 水利学报, 1983(1): 1-13.
- [5] 周健, 吴世明, 曾国熙. 土石坝三维二相动力分析[J]. 岩土工程学报, 1991, 13(5): 64-69.
- [6] SL203—1997, 水工建筑物抗震设计规范[S].
- [7] GB5001—2001, 建筑抗震设计规范[S].
- [8] 徐志英, 沈珠江. 尾矿高堆坝地震反应的综合分析与液化计算[J]. 水利学报, 1983(5): 18-23.
- [9] 高艳平, 王余庆, 辛鸿博. 尾矿坝地震液化简化判别法[J]. 岩土工程学报, 1995, 17(5): 72-79.
- [10] 潘恕, 沈凤生. 小浪底斜心墙堆石坝的地震反应分析[J]. 人民长江, 1994, 25(8): 36-42.
- [11] 黄文熙. 土的工程性质[M]. 北京: 水利电力出版社, 1983.

(收稿日期 2004-12-25 编辑: 骆超)